

Figure 1: Temps d'exécution des threads pour le fichier gemm.c

Table 1: Statistiques pour le fichier gemm.c

Statistique	Algebraic Tile	Tile (static)	Tile (dynamic)
Skewness (g1)	2.82035	-5.96964	-6.28404
Kurtosis (g2)	7.47004	38.0456	41.123
Coefficient de variation $\frac{\sigma}{\mu}$	0.00743237	0.140699	0.13659
Percent Imbalance metric en %	2.6708	7.18118	5.07995
Coefficient de Gini	0.00304668	0.0385466	0.0331334
Temps d'exécution (s)	2.995604	3.111318	3.002139

$$g1 = \frac{\sum_{i=1}^n (x_i - \bar{x})^3}{n\sigma^3} \quad g2 = \frac{\sum_{i=1}^n (x_i - \bar{x})^4}{n\sigma^4} \quad \text{Coefficient de Gini} = \frac{\sum_{i=1}^n \sum_{j=1}^n |x_i - x_j|}{2n^2\bar{x}}$$

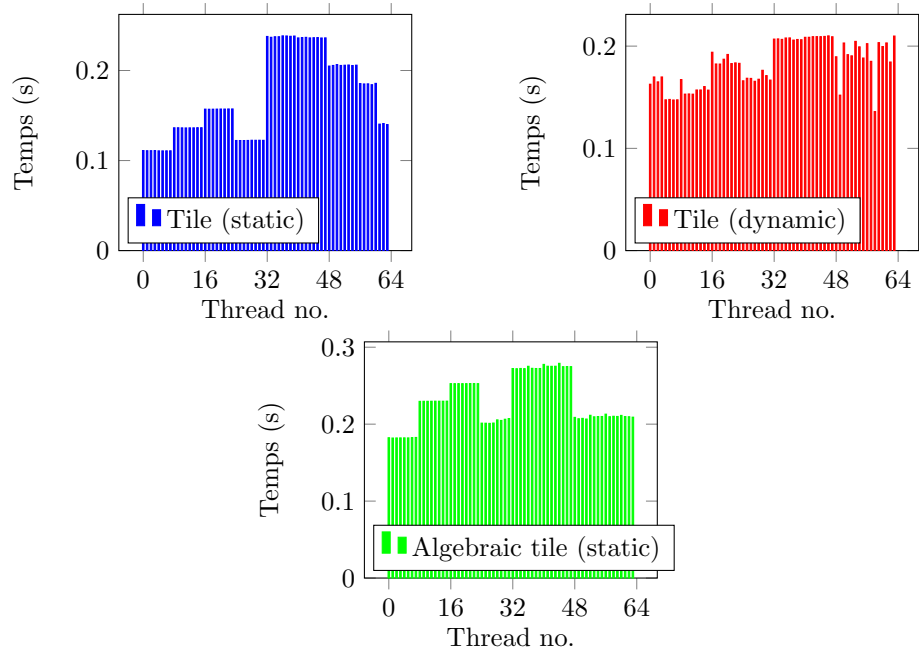


Figure 2: Temps d'exécution des threads pour le fichier gemver.c

Table 2: Statistiques pour le fichier gemver.c

Statistique	Algebraic Tile	Tile (static)	Tile (dynamic)
Skewness (g1)	0.201376	0.223112	-0.299947
Kurtosis (g2)	-1.33333	-1.49761	-1.24526
Coefficient de variation $\frac{\sigma}{\bar{x}}$	0.13994	0.274319	0.118677
Percent Imbalance metric en %	21.5933	38.7208	14.6268
Coefficient de Gini	0.0786734	0.154721	0.0674094
Temps d'exécution (s)	0.279349	0.240519	0.214221

$$g1 = \frac{\sum_{i=1}^n (x_i - \bar{x})^3}{n\sigma^3} \quad g2 = \frac{\sum_{i=1}^n (x_i - \bar{x})^4}{n\sigma^4} \quad \text{Coefficient de Gini} = \frac{\sum_{i=1}^n \sum_{j=1}^n |x_i - x_j|}{2n^2\bar{x}}$$

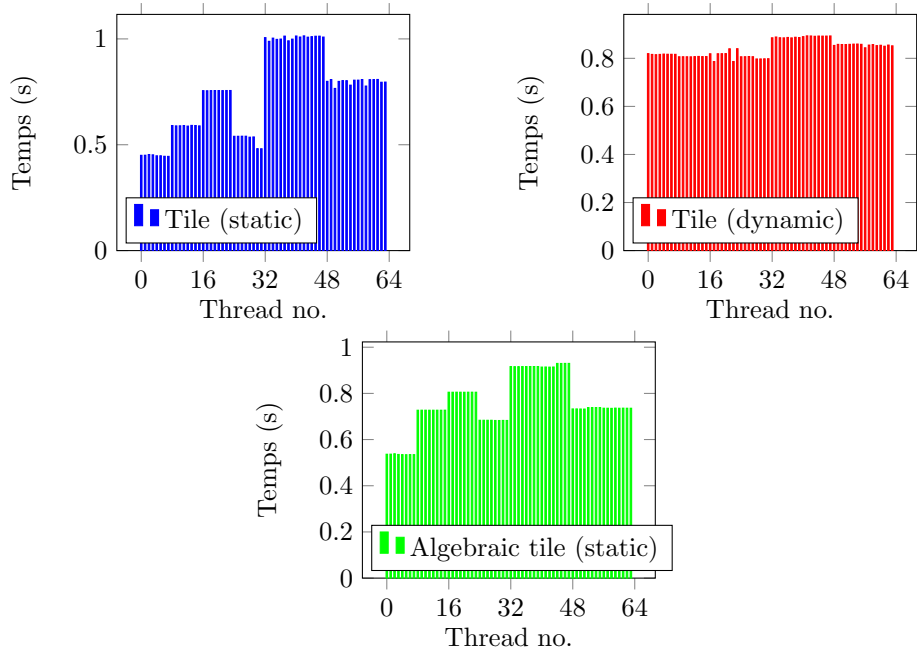


Figure 3: Temps d'exécution des threads pour le fichier gesummv.c

Table 3: Statistiques pour le fichier gesummv.c

Statistique	Algebraic Tile	Tile (static)	Tile (dynamic)
Skewness (g1)	-0.215151	-0.0203369	0.202477
Kurtosis (g2)	-0.517592	-1.24947	-1.39106
Coefficient de variation $\frac{\sigma}{\bar{x}}$	0.155558	0.262547	0.0406918
Percent Imbalance metric en %	22.7491	36.917	6.18122
Coefficient de Gini	0.0848376	0.148116	0.0229906
Temps d'exécution (s)	0.930120	1.016233	0.894166

$$g1 = \frac{\sum_{i=1}^n (x_i - \bar{x})^3}{n\sigma^3} \quad g2 = \frac{\sum_{i=1}^n (x_i - \bar{x})^4}{n\sigma^4} \quad \text{Coefficient de Gini} = \frac{\sum_{i=1}^n \sum_{j=1}^n |x_i - x_j|}{2n^2\bar{x}}$$

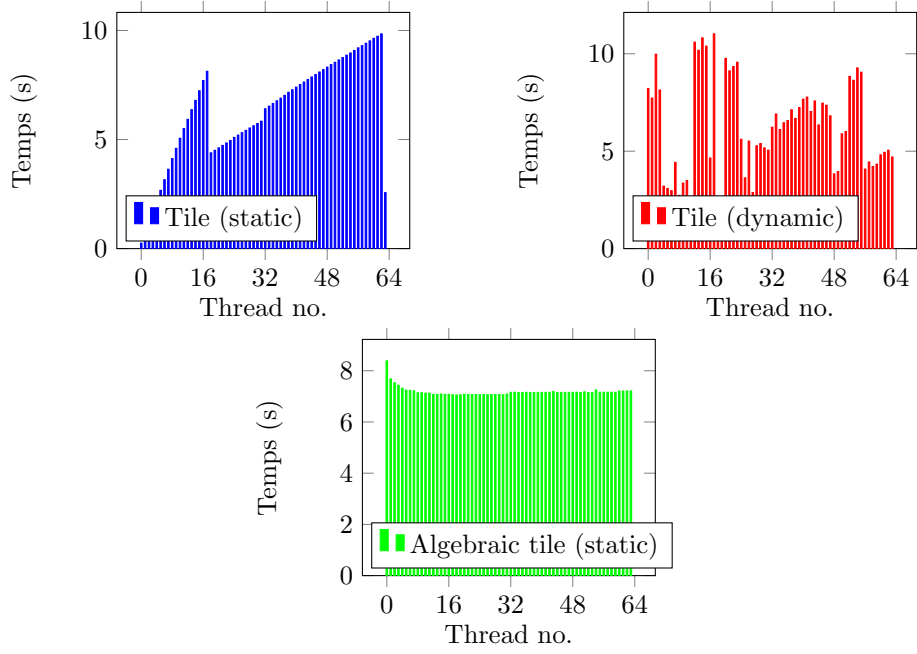


Figure 4: Temps d'exécution des threads pour le fichier syr2k.c

Table 4: Statistiques pour le fichier syr2k.c

Statistique	Algebraic Tile	Tile (static)	Tile (dynamic)
Skewness (g1)	4.76457	-0.62611	0.219653
Kurtosis (g2)	26.5409	-0.226459	-0.977463
Coefficient de variation $\frac{s}{\bar{x}}$	0.0258021	0.372348	0.380722
Percent Imbalance metric en %	16.8406	55.6125	75.3759
Coefficient de Gini	0.00896444	0.209021	0.218734
Temps d'exécution (s)	8.394649	9.845914	11.033677

$$g1 = \frac{\sum_{i=1}^n (x_i - \bar{x})^3}{n\sigma^3} \quad g2 = \frac{\sum_{i=1}^n (x_i - \bar{x})^4}{n\sigma^4} \quad \text{Coefficient de Gini} = \frac{\sum_{i=1}^n \sum_{j=1}^n |x_i - x_j|}{2n^2\bar{x}}$$

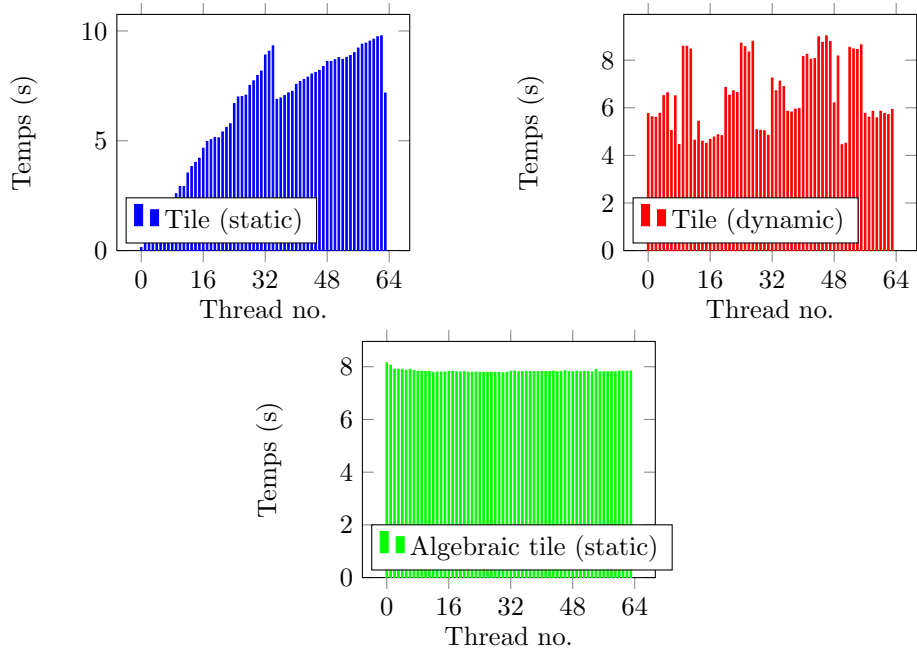


Figure 5: Temps d'exécution des threads pour le fichier syrk.c

Table 5: Statistiques pour le fichier syrk.c

Statistique	Algebraic Tile	Tile (static)	Tile (dynamic)
Skewness (g1)	3.57244	-0.75978	0.271824
Kurtosis (g2)	14.9266	-0.63582	-1.33997
Coefficient de variation $\frac{\sigma}{\mu}$	0.00744827	0.435288	0.225694
Percent Imbalance metric en %	4.07427	53.9644	37.4511
Coefficient de Gini	0.00297639	0.240696	0.128003
Temps d'exécution (s)	8.155176	9.776424	9.025269

$$g1 = \frac{\sum_{i=1}^n (x_i - \bar{x})^3}{n\sigma^3} \quad g2 = \frac{\sum_{i=1}^n (x_i - \bar{x})^4}{n\sigma^4} \quad \text{Coefficient de Gini} = \frac{\sum_{i=1}^n \sum_{j=1}^n |x_i - x_j|}{2n^2\bar{x}}$$

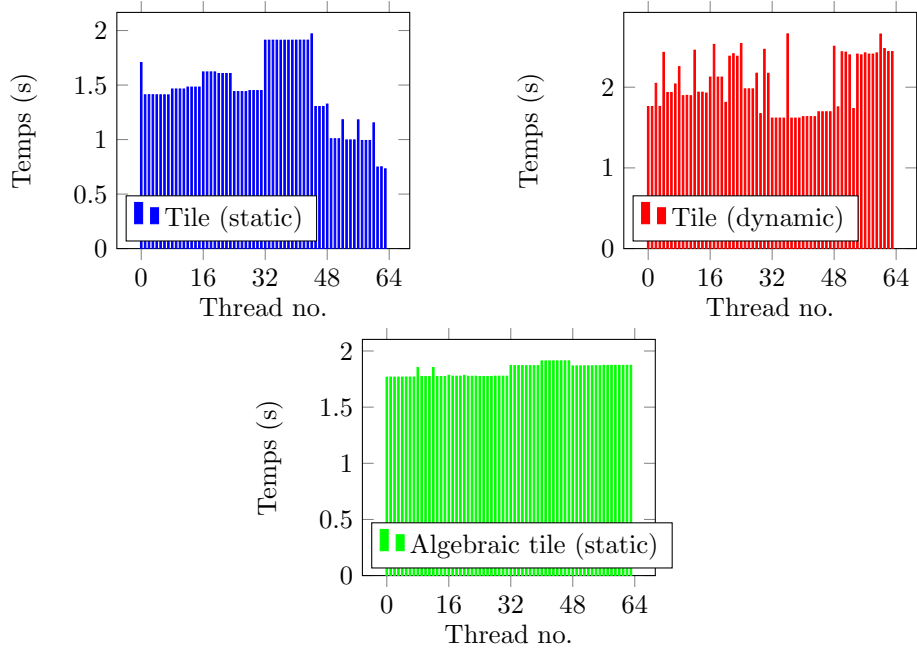


Figure 6: Temps d'exécution des threads pour le fichier trmm.c

Table 6: Statistiques pour le fichier trmm.c

Statistique	Algebraic Tile	Tile (static)	Tile (dynamic)
Skewness (g1)	0.0756236	-0.254851	0.119253
Kurtosis (g2)	-1.68211	-0.530319	-1.48502
Coefficient de variation $\frac{s}{\bar{x}}$	0.0298811	0.224479	0.164569
Percent Imbalance metric en %	4.53797	35.9665	29.1945
Coefficient de Gini	0.0160585	0.124834	0.0934255
Temps d'exécution (s)	1.912183	1.969661	2.660899

$$g1 = \frac{\sum_{i=1}^n (x_i - \bar{x})^3}{n\sigma^3} \quad g2 = \frac{\sum_{i=1}^n (x_i - \bar{x})^4}{n\sigma^4} \quad \text{Coefficient de Gini} = \frac{\sum_{i=1}^n \sum_{j=1}^n |x_i - x_j|}{2n^2\bar{x}}$$

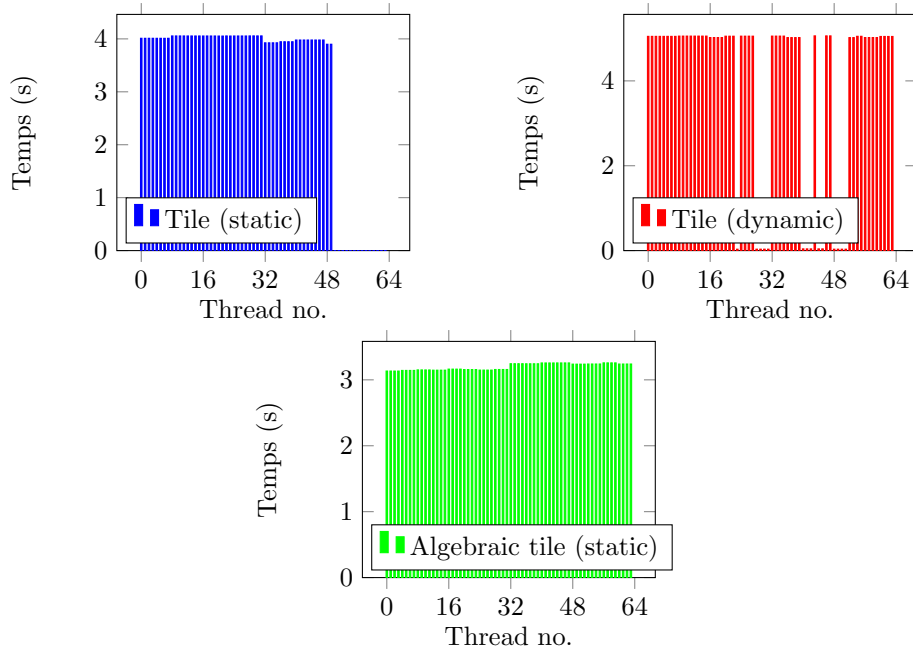


Figure 7: Temps d'exécution des threads pour le fichier 2mm.c

Table 7: Statistiques pour le fichier 2mm.c

Statistique	Algebraic Tile	Tile (static)	Tile (dynamic)
Skewness (g1)	-0.0079399	-1.35808	-1.36052
Kurtosis (g2)	-1.88938	-0.151494	-0.148731
Coefficient de variation $\frac{s}{\bar{x}}$	0.0154532	0.529329	0.524303
Percent Imbalance metric en %	1.84458	29.4684	28.1675
Coefficient de Gini	0.00831622	0.224001	0.217952
Temps d'exécution (s)	3.264347	4.061943	5.061227

$$g1 = \frac{\sum_{i=1}^n (x_i - \bar{x})^3}{n\sigma^3} \quad g2 = \frac{\sum_{i=1}^n (x_i - \bar{x})^4}{n\sigma^4} \quad \text{Coefficient de Gini} = \frac{\sum_{i=1}^n \sum_{j=1}^n |x_i - x_j|}{2n^2\bar{x}}$$

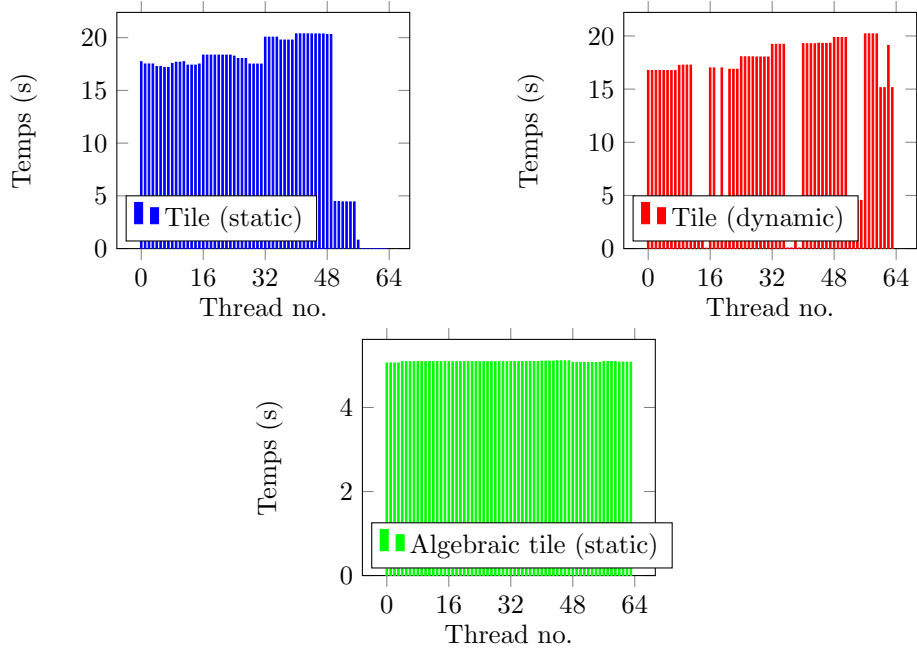


Figure 8: Temps d'exécution des threads pour le fichier 3mm.c

Table 8: Statistiques pour le fichier 3mm.c

Statistique	Algebraic Tile	Tile (static)	Tile (dynamic)
Skewness (g1)	-0.570008	-1.34862	-1.2953
Kurtosis (g2)	0.448111	0.0608708	-0.0327026
Coefficient de variation $\frac{\sigma}{\mu}$	0.00229942	0.470241	0.44999
Percent Imbalance metric en %	0.439232	35.9332	37.5096
Coefficient de Gini	0.00118778	0.2205	0.217209
Temps d'exécution (s)	5.143080	20.508581	20.247586

$$g1 = \frac{\sum_{i=1}^n (x_i - \bar{x})^3}{n\sigma^3} \quad g2 = \frac{\sum_{i=1}^n (x_i - \bar{x})^4}{n\sigma^4} \quad \text{Coefficient de Gini} = \frac{\sum_{i=1}^n \sum_{j=1}^n |x_i - x_j|}{2n^2\bar{x}}$$

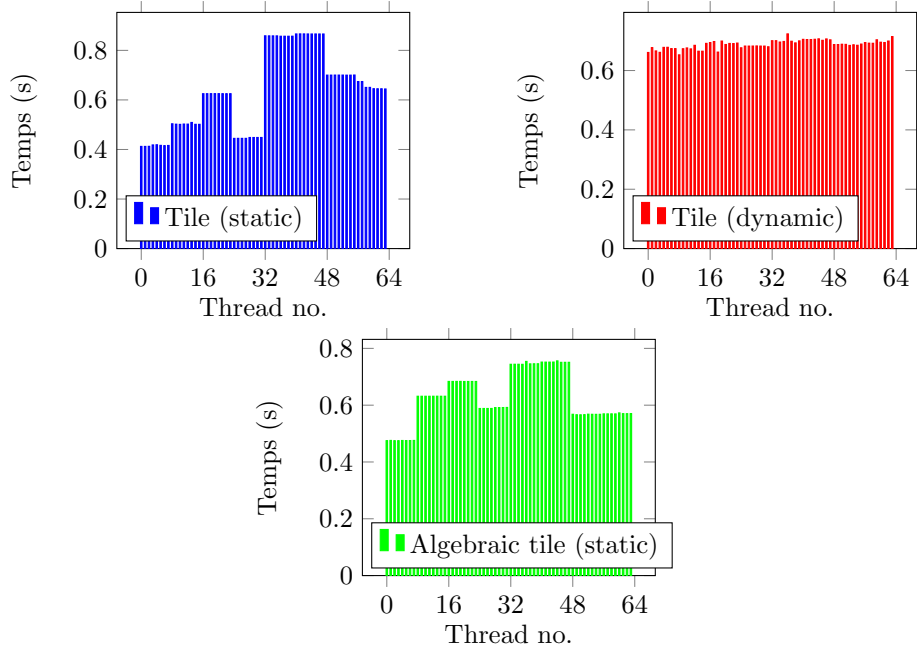


Figure 9: Temps d'exécution des threads pour le fichier atax.c

Table 9: Statistiques pour le fichier atax.c

Statistique	Algebraic Tile	Tile (static)	Tile (dynamic)
Skewness (g1)	-0.0190841	0.15051	-0.265566
Kurtosis (g2)	-1.03899	-1.30498	-0.0698015
Coefficient de variation $\frac{\sigma}{\mu}$	0.142808	0.255172	0.0202196
Percent Imbalance metric en %	20.5754	36.774	5.11501
Coefficient de Gini	0.0801289	0.144071	0.0113508
Temps d'exécution (s)	0.756754	0.866761	0.728207

$$g1 = \frac{\sum_{i=1}^n (x_i - \bar{x})^3}{n\sigma^3} \quad g2 = \frac{\sum_{i=1}^n (x_i - \bar{x})^4}{n\sigma^4} \quad \text{Coefficient de Gini} = \frac{\sum_{i=1}^n \sum_{j=1}^n |x_i - x_j|}{2n^2\bar{x}}$$

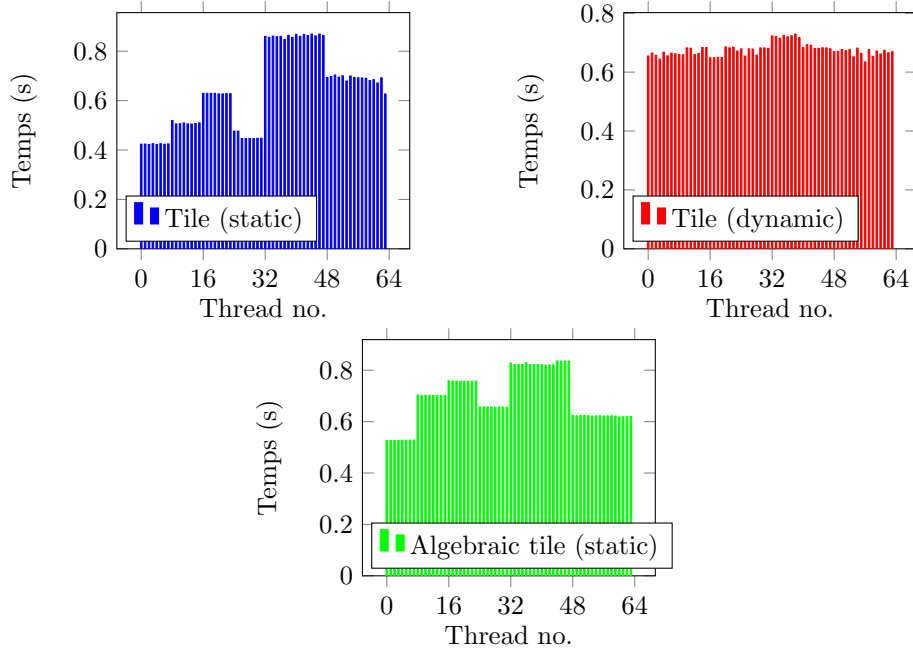


Figure 10: Temps d'exécution des threads pour le fichier bicg.c

Table 10: Statistiques pour le fichier bicg.c

Statistique	Algebraic Tile	Tile (static)	Tile (dynamic)
Skewness (g1)	-0.0185629	0.117922	0.82714
Kurtosis (g2)	-1.11383	-1.32081	0.38871
Coefficient de variation $\frac{\sigma}{\bar{x}}$	0.143205	0.248788	0.0314948
Percent Imbalance metric en %	20.7303	36.0303	7.84799
Coefficient de Gini	0.0808389	0.140561	0.0169668
Temps d'exécution (s)	0.835676	0.869521	0.731295

$$g1 = \frac{\sum_{i=1}^n (x_i - \bar{x})^3}{n\sigma^3} \quad g2 = \frac{\sum_{i=1}^n (x_i - \bar{x})^4}{n\sigma^4} \quad \text{Coefficient de Gini} = \frac{\sum_{i=1}^n \sum_{j=1}^n |x_i - x_j|}{2n^2\bar{x}}$$

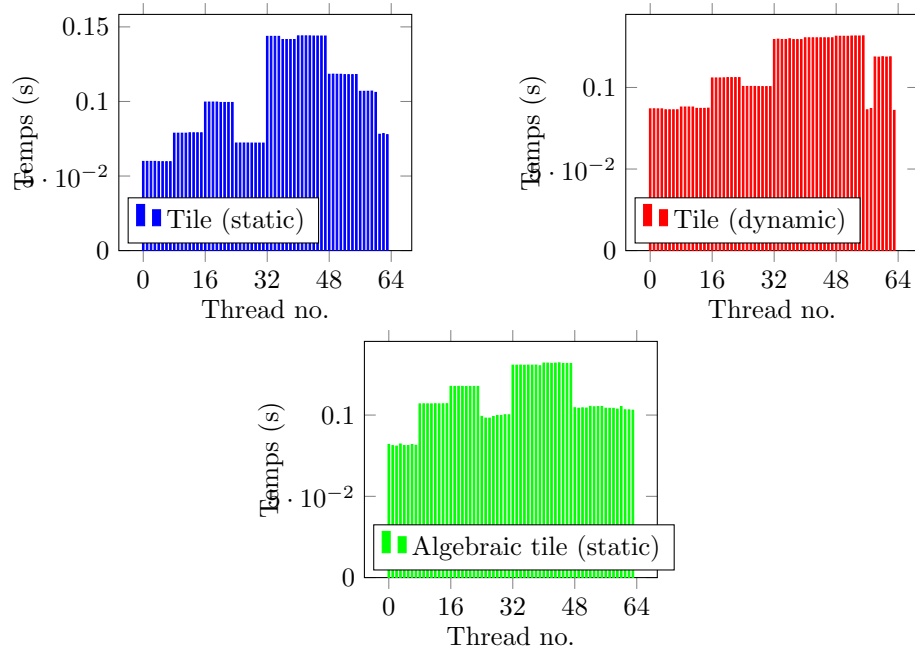


Figure 11: Temps d'exécution des threads pour le fichier mvt.c

Table 11: Statistiques pour le fichier mvt.c

Statistique	Algebraic Tile	Tile (static)	Tile (dynamic)
Skewness (g1)	-0.0814805	0.184379	-0.0479925
Kurtosis (g2)	-0.753419	-1.36056	-1.64164
Coefficient de variation $\frac{s}{\bar{x}}$	0.143056	0.294294	0.166281
Percent Imbalance metric en %	20.5858	42.0751	19.8421
Coefficient de Gini	0.0790886	0.16659	0.0925037
Temps d'exécution (s)	0.132280	0.144077	0.131722

$$g1 = \frac{\sum_{i=1}^n (x_i - \bar{x})^3}{n\sigma^3} \quad g2 = \frac{\sum_{i=1}^n (x_i - \bar{x})^4}{n\sigma^4} \quad \text{Coefficient de Gini} = \frac{\sum_{i=1}^n \sum_{j=1}^n |x_i - x_j|}{2n^2\bar{x}}$$

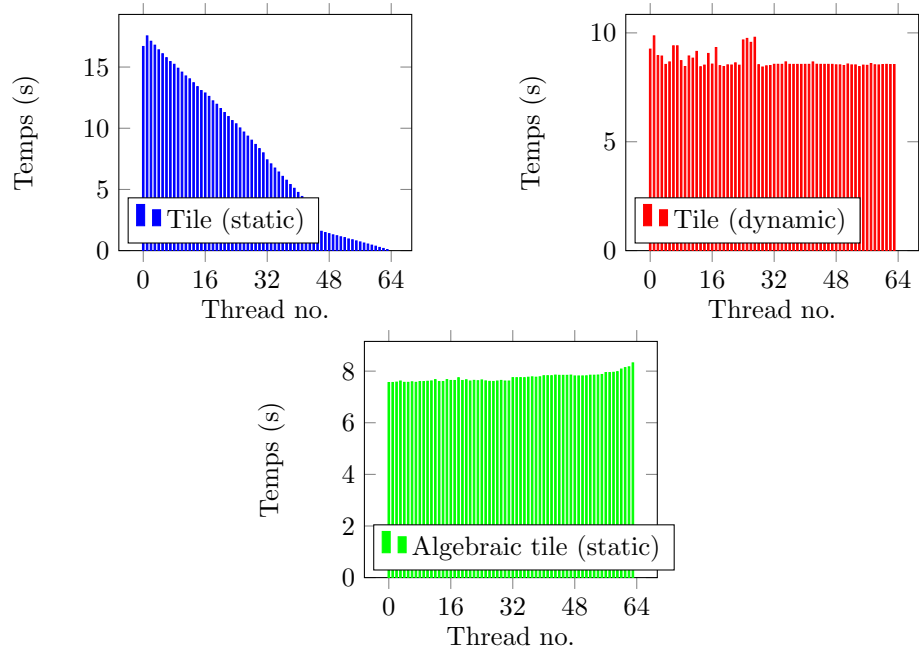


Figure 12: Temps d'exécution des threads pour le fichier correlation.c

Table 12: Statistiques pour le fichier correlation.c

Statistique	Algebraic Tile	Tile (static)	Tile (dynamic)
Skewness (g1)	1.227	0.105907	1.79703
Kurtosis (g2)	1.61929	-1.40032	1.97336
Coefficient de variation $\frac{\sigma}{\mu}$	0.020802	0.732234	0.0426569
Percent Imbalance metric en %	7.42352	124.709	13.0044
Coefficient de Gini	0.011038	0.419555	0.0192032
Temps d'exécution (s)	8.359782	17.621930	9.892184

$$g1 = \frac{\sum_{i=1}^n (x_i - \bar{x})^3}{n\sigma^3} \quad g2 = \frac{\sum_{i=1}^n (x_i - \bar{x})^4}{n\sigma^4} \quad \text{Coefficient de Gini} = \frac{\sum_{i=1}^n \sum_{j=1}^n |x_i - x_j|}{2n^2 \bar{x}}$$

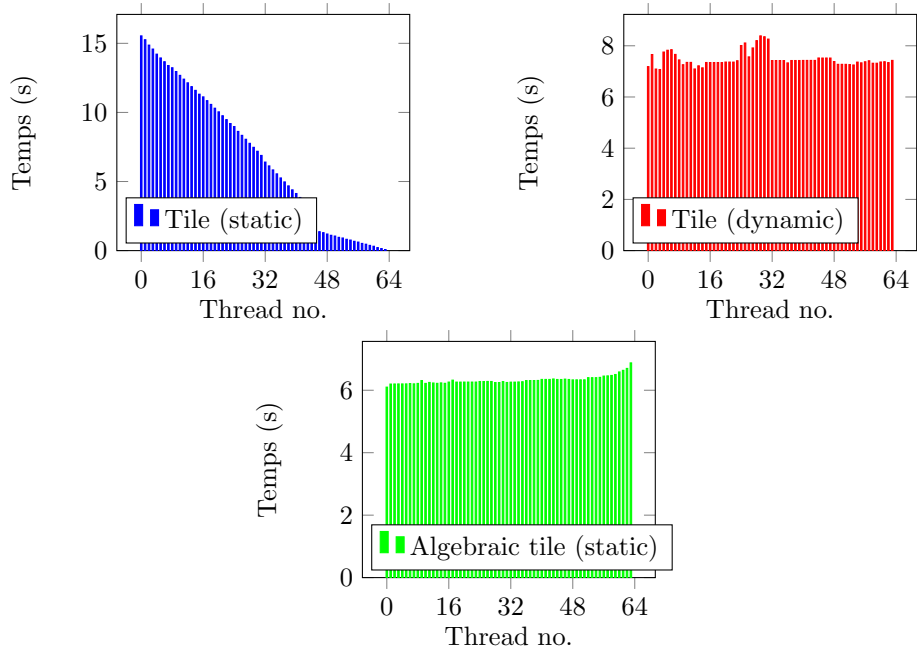


Figure 13: Temps d'exécution des threads pour le fichier covariance.c

Table 13: Statistiques pour le fichier covariance.c

Statistique	Algebraic Tile	Tile (static)	Tile (dynamic)
Skewness (g1)	2.05728	0.128582	1.64033
Kurtosis (g2)	5.53996	-1.36827	2.2355
Coefficient de variation $\frac{s}{\bar{x}}$	0.0199758	0.735567	0.038781
Percent Imbalance metric en %	8.80418	129.281	12.1838
Coefficient de Gini	0.00967967	0.421496	0.0188735
Temps d'exécution (s)	6.892685	15.594172	8.412408

$$g1 = \frac{\sum_{i=1}^n (x_i - \bar{x})^3}{n\sigma^3} \quad g2 = \frac{\sum_{i=1}^n (x_i - \bar{x})^4}{n\sigma^4} \quad \text{Coefficient de Gini} = \frac{\sum_{i=1}^n \sum_{j=1}^n |x_i - x_j|}{2n^2\bar{x}}$$